

## ТЕОРЕТИЧЕСКАЯ И МАТЕМАТИЧЕСКАЯ ФИЗИКА

УДК 532.517:621.373

## ХАОС И ДЕСТОХАСТИЗАЦИЯ В ДВУМЕРНОЙ СЕТИ СВЯЗАННЫХ КВАДРАТИЧНЫХ ОТОБРАЖЕНИЙ

А. Ю. Лоскутов, Г. Э. Томас

*(кафедра физики низких температур)*

Рассматривается двумерная решетка квадратичных отображений с диффузионным и параметрическим взаимодействиями между элементами и ее приближенная модель, состоящая из единственного (выделенного) элемента из этой решетки и флуктуирующей среды. Показано, что определенное воздействие флуктуирующей среды может привести к дестохастизации — подавлению хаоса в выделенном элементе. Найден верхний порог диффузии, при котором это явление еще сохраняется.

## 1. Введение

Описание различных физических систем при помощи нелинейных отображений является одним из наиболее удобных и наглядных путей изучения сложного многомерного движения. Преимущество такого подхода заключается в относительной простоте и универсальности отображений. Например, при помощи одномерных отображений для целого класса нелинейных динамических систем удалось универсальным образом описать переход к хаотическому поведению [1, 2]. Наиболее полезным применением отображений оказалось в теории систем, близких к интегрируемым, где было доказано свойство сохранения квазипериодического движения при его малых возмущениях [3—5]. В последнее время с нелинейными отображениями связывается возможность создания систем обработки информации [6, 7].

Если рассматривать не одно, а совокупность, например цепочку или решетку (сеть), тем или иным способом связанных отображений, то можно описывать самые разнообразные явления и понять процессы, происходящие в распределенных средах. В самом деле, распределенную среду можно представить как дискретную решетку с большим числом взаимодействующих элементов, расположенных в узлах этой решетки. Так, простейшую распределенную систему — одномерную струну — можно представить как цепочку последовательно связанных друг с другом элементов (например осцилляторов), каждый из которых описывается отображением. Тогда, изучив динамику отдельного элемента, можно перейти к рассмотрению системы из сцепленных элементов, а затем к распределенной среде из этих элементов и анализу волновых процессов. Более сложные, чем одномерная струна, распределенные среды можно аналогично попытаться разбить на совокупность дискретных элементов (в соответствии с размерностью среды — двумерную или трехмерную решетку) и затем изучать полученную систему в предположении, что число элементов достаточно велико. При таком подходе в определенных случаях можно ожидать, что динамика исходной распределенной среды окажется сходной с динамикой аппроксимирующей ее дискретизованной системы [8].

Допустим, что отдельно взятое отображение имеет вид

$$x_{n+1} = \Phi(x_n, \gamma), \quad (1)$$

где  $\varphi$  — некоторая функция и  $\gamma$  — параметр. Теперь, если из таких отображений составить  $k$ -мерную решетку ( $k \geq 1$ ), то связь в зависимости от решаемой задачи может быть введена различными способами. Самый известный из них и широко исследуемый (см., напр., [9—11]) — диффузионный способ. В этом случае для двумерной ( $k=2$ ) решетки, состоящей из  $N$  отображений вида (1), эволюция каждого  $(i, j)$ -го элемента будет определяться соотношением

$$x_{n+1}^{i,j} = \varphi(x_n^{i,j}, \gamma) + d_1[\varphi(x_n^{i-1,j}, \gamma) - 2\varphi(x_n^{i,j}, \gamma) + \varphi(x_n^{i+1,j}, \gamma)] + d_2[\varphi(x_n^{i,j-1}, \gamma) - 2\varphi(x_n^{i,j}, \gamma) + \varphi(x_n^{i,j+1}, \gamma)], \quad (2)$$

где  $i=1, 2, \dots, N$ ,  $j=1, 2, \dots, N$ ,  $d_1$  и  $d_2$  — коэффициенты диффузии вдоль горизонтали и вдоль вертикали решетки. Часто, чтобы не вводить граничных условий, рассматривается сцепление на торе, т. е. индексы  $i$  и  $j$  определяются по  $\text{mod } N$ . Связь типа (2) характерна тем, что состояние каждого элемента как бы сглаживается действием окружающих его соседей, и это сглаживание тем сильнее, чем больше коэффициенты  $d_1, d_2$ .

Другой способ введения связи — параметрический [12]. Для  $k=2$  динамика  $(i, j)$ -го элемента может быть записана как

$$x_{n+1}^{i,j} = \varphi(x_n^{i,j}, \gamma_n^{i,j}), \quad (3a)$$

где

$$\gamma_n^{i,j} = \gamma + d_1(x_n^{i+1} - 2x_n^i + x_n^{i-1}) + d_2(x_n^{j+1} - 2x_n^j + x_n^{j-1}). \quad (3b)$$

Параметрическое сцепление отображений вида (3 а, б) замечательно тем, что значение управляющего параметра  $\gamma$  отображения (1) зависит от состояния элементов, соседних с выделенным, в предыдущий момент времени  $n$ . Решетку из отображений вида (3) можно трактовать как взаимодействие выделенного элемента и некоторой окружающей его среды (состоящей из таких же элементов), и эта среда действует на выделенный элемент параметрически.

При исследовании сети связанных отображений (2) и (3) естественным образом возникают следующие вопросы. Какой может быть динамика некоторого элемента, выделенного из сети, и динамика всей решетки в целом? Если значение параметра  $\gamma$  отображения (1) соответствует его хаотическому поведению, то будут ли в этом случае решетки (2) и (3) также проявлять хаотические свойства? Данная работа посвящена ответам на эти вопросы.

## 2. Дестохастизация в сети параметрически связанных отображений

Рассмотрим в качестве элемента (1) в решетке (3) отображение вида

$$x_{n+1} = \varphi(x_n, \gamma) = \gamma x_n (1 - x_n). \quad (4)$$

Это отображение определено для всех  $x \in \mathbf{R}^1$ . Если  $\gamma \in [0, 4]$ , то преобразование  $\varphi$  переводит отрезок  $[0, 1]$  в себя. Хорошо известным свойством отображения (4) являются бифуркации удвоения периода. При увеличении значения параметра  $\gamma$  в интервале  $1 < \gamma < \gamma_\infty = 3,569945672\dots$  в отображении (4), последовательно сменяя друг друга, возникают устойчивые циклы периодов  $2^k$ ,  $k=1, 2, 3, \dots$ . Если  $\gamma = \gamma_\infty$ , то все эти циклы



симмируемого отображением (5), может быть стабилизировано соседними с ним элементами и выведено на регулярный режим.

Доказательство. Очевидно, что для доказательства достаточно найти хотя бы одну пару  $\gamma_1^d, \gamma_2^d$  из множества  $\bar{\Gamma}_c$ , удовлетворяющую утверждению теоремы. Для  $m=2$  отображение (6) переписывается в виде

$$x_{2n+1} = \Phi_1(x_{2n}, \gamma_1) = \gamma_1 x_{2n} (1 - x_{2n}), \quad (7)$$

$$x_{2n+2} = \Phi_2(x_{2n+1}, \gamma_2) = \gamma_2 x_{2n+1} (1 - x_{2n+1}), \quad \gamma_1, \gamma_2 \in \bar{\Gamma}_c.$$

В зависимости от начального условия  $x_0$  это отображение с ростом  $n$  порождает последовательность

$$\begin{aligned} x_1 &= \Phi_1(x_0, \gamma_1), \quad x_2 = \Phi_2(\Phi_1(x_0, \gamma_1), \gamma_2), \\ x_3 &= \Phi_1(\Phi_2(\Phi_1(x_0, \gamma_1), \gamma_2), \gamma_1), \dots \end{aligned} \quad (8)$$

Введем в рассмотрение следующие функции:

$$\begin{aligned} F_1(x, \gamma_1, \gamma_2) &= \Phi_1(\Phi_2) = \gamma_1 \gamma_2 x (1-x) [1 - \gamma_2 x (1-x)], \\ F_2(x, \gamma_1, \gamma_2) &= \Phi_2(\Phi_1) = \gamma_1 \gamma_2 x (1-x) [1 - \gamma_1 x (1-x)]. \end{aligned} \quad (9)$$

Используя их, задавая  $x_0$  и определяя  $x_1 = \Phi_1(x_0, \gamma_1)$ , отображение (7) можно записать как

$$x_{2n+1} = F_1(x_{2n-1}, \gamma_1, \gamma_2), \quad (10 \text{ а})$$

$$x_{2n+2} = F_2(x_{2n}, \gamma_1, \gamma_2), \quad \gamma_1, \gamma_2 \in \bar{\Gamma}_c. \quad (10 \text{ б})$$

Действительно, функция  $F_2$  соответствует четным номерам последовательности (8), а функция  $F_1$  — нечетным ее номерам. Отображения (10 а) и (10 б) замечательны тем, что действуют независимо друг от друга; их итерации, за исключением значений  $x_0$  и  $x_1$ , никак не связаны между собой.

Далее, для произвольного отображения  $f(x)$  любой из циклов периода  $k$  является одновременно неподвижными точками  $\tilde{x}_p, p=1, 2, \dots, \dots, k$ , отображения  $f^{(k)}(x) = \underbrace{f(f(\dots f(x) \dots))}_{k \text{ раз}}$ . Обратное утверждение, во-

обще говоря, верно не всегда, так как не только  $k$ -циклы, т. е. циклы периода  $k$ , но также и  $j$ -циклы ( $j=k/i, i=2, 3, \dots, k, j$  — целое число) отображения  $f(x)$  являются неподвижными точками отображения  $f^{(k)}(x)$ . Для исключения таких точек достаточно рассмотреть корни полинома  $[f^{(k)}(\tilde{x}) - \tilde{x}] / [f^{(i)}(\tilde{x}) - \tilde{x}]$ ,  $j=k/i, i=2, 3, \dots, k$ .

Учитывая эти замечания, исследуем функции  $F_1, F_2$  и отображение (10).

Если отображение (7) имеет  $2k$ -цикл, то этот цикл будет также и  $2k$ -циклом отображения (10). В свою очередь каждый  $2k$ -цикл отображения (10) является одновременно неподвижными точками  $\tilde{x}_m^1, m=1, 2, \dots, k$ , отображения  $F_1^{(k)}$  и неподвижными точками  $\tilde{x}_m^2, m=1, 2, \dots, k$ , отображения  $F_2^{(k)}$ . Обратно, если  $F_1^{(k)}$  и  $F_2^{(k)}$  имеют неподвижные точки, то в общем случае таких точек может быть больше, чем  $2k$ , либо они могут не соответствовать  $2k$ -циклу отображения (7). Последнее означает, что цикл периода  $2k$  в отображении (7) отсутствует. Для того, чтобы исключить лишние точки отображений  $F_1^{(k)}, F_2^{(k)}$  и убедиться в существовании цикла периода  $2k$  отображения (7), достаточно определить корни полиномов

$$\begin{aligned} [F_1^{(k)}(\tilde{x}^1, \gamma_1, \gamma_2) - \tilde{x}^1] / [F_1^{(j)}(\tilde{x}^1, \gamma_1, \gamma_2) - \tilde{x}^1] &= 0, \\ [F_2^{(k)}(\tilde{x}^2, \gamma_1, \gamma_2) - \tilde{x}^2] / [F_2^{(j)}(\tilde{x}^2, \gamma_1, \gamma_2) - \tilde{x}^2] &= 0 \end{aligned} \quad (11)$$

для всех  $j=k/i$ ,  $i=2, 3, \dots, k$ . Если эти уравнения имеют  $2k$  решений, каждое по числу  $k$ , то отображения  $F_1$  и  $F_2$  будут иметь цикл периода  $k$ , а отображения (7) и (10) — цикл периода  $2k$ .

Отображение (7), имеющее хаотическое поведение, обладает только неустойчивыми циклами и неустойчивыми неподвижными точками. Поэтому появление при любом  $k > 0$  устойчивых неподвижных точек  $\tilde{x}_m^1, \tilde{x}_m^2$ ,  $m=1, 2, \dots$ , у отображений соответственно  $F_1^{(k)}$  и  $F_2^{(k)}$  всегда означает существование для определенных  $x_0$  регулярной динамики отображения (10), обусловленной циклом одного из периодов  $j=2k/i$ ,  $i=1, 2, \dots, k$ . Если дополнительно к этому значения  $\tilde{x}_m^1, \tilde{x}_m^2$ ,  $m=1, 2, \dots$ , удовлетворяют уравнениям (11), то это обстоятельство гарантирует, что отображение (10) обладает устойчивым  $2k$ -циклом.

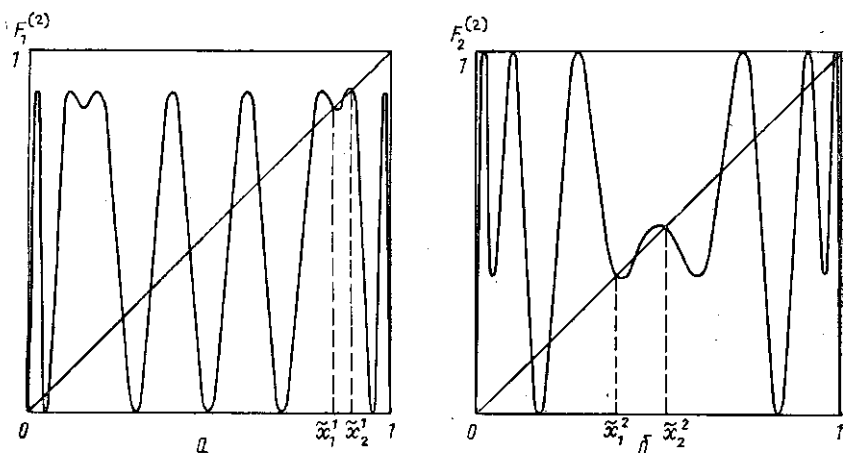


Рис. 1. Устойчивые неподвижные точки  $\tilde{x}_1^1=0,84719885\dots$ ,  $\tilde{x}_2^1=0,89135379\dots$  отображения  $F_1^{(2)}$  (а) и  $\tilde{x}_1^2=0,38736883\dots$ ,  $\tilde{x}_2^2=0,51781183\dots$  отображения  $F_2^{(2)}$  (б) при  $\gamma_1=4$ ,  $\gamma_2=3,56994567$

Таким образом, необходимо найти хотя бы одну пару параметров  $\gamma_1 = \gamma_1^d \in \bar{\Gamma}_c$ ,  $\gamma_2 = \gamma_2^d \in \bar{\Gamma}_c$ , такую, чтобы отображения  $F_1^{(k)}$  и  $F_2^{(k)}$  для определенного  $k < \infty$  имели устойчивые неподвижные точки  $\tilde{x}_m^1$  и  $\tilde{x}_m^2$  соответственно.

Выберем в качестве параметров  $\gamma_1$  и  $\gamma_2$  значения  $\gamma_1 = \gamma_{\max} = 4$ ,  $\gamma_2 = \gamma_{\infty}$ . По определению,  $\gamma_{\infty} \in \bar{\Gamma}_c$ . Кроме того (см. выше),  $\gamma_{\max} \in \bar{\Gamma}_c$ . Подставим теперь  $\gamma_{\infty}, \gamma_{\max}$  в уравнения

$$F_1^{(k)}(\tilde{x}^1, \gamma_{\max}, \gamma_{\infty}) = \tilde{x}^1, \quad F_2^{(k)}(\tilde{x}^2, \gamma_{\max}, \gamma_{\infty}) = \tilde{x}^2.$$

Тогда нетрудно убедиться, что для  $k=2$  у отображений  $F_1^{(k)}, F_2^{(k)}$  имеются такие неподвижные точки (рис. 1), которые являются устойчивыми. Других устойчивых точек при данных значениях параметров отображения  $F_1^{(k)}$  и  $F_2^{(k)}$  не имеют при любом  $k > 2$ . Найденные точки образуют устойчивый цикл периода 4 (рис. 2). Следовательно,  $\gamma_{\infty} = \gamma_1^d$ ,  $\gamma_{\max} = \gamma_2^d$ . Отметим, что, хотя график функций  $F_1^{(2)}$  и  $F_2^{(2)}$  построен

для рационального значения  $\gamma_2$ , при иррациональном  $\gamma_\infty$  он изменится мало: небольшие вариации ( $\sim 10^{-6}$ ) параметра  $\gamma_2$  не влияют на устойчивость неподвижных точек.

Теорема доказана.

*Замечание 1.* Помимо приведенных величин  $\gamma_\infty$ ,  $\gamma_{\max}$  можно путем численного исследования обнаружить ряд других значений  $\gamma_1^d, \gamma_2^d$ , удовлетворяющих условию теоремы.

*Замечание 2.* Утверждение теоремы можно значительно усилить, если рассмотреть только множество  $\Gamma_c$ . В этом случае основная трудность состоит в том, чтобы доказать, что  $\gamma_1^d \in \Gamma_c$ ,  $\gamma_2^d \in \Gamma_c$ . Однако теорема Огнева—Мисюревича [14] существенно облегчает эту процедуру.

*Замечание 3.* Расширение теоремы на случай  $m > 2$  несколько усложняет рассмотрение. Но численное исследование делает поиски параметров  $\gamma_1^{d_i}, \gamma_2^{d_i}, \dots, \gamma_m^{d_i}, i = 1, 2, \dots$ , элементарными.

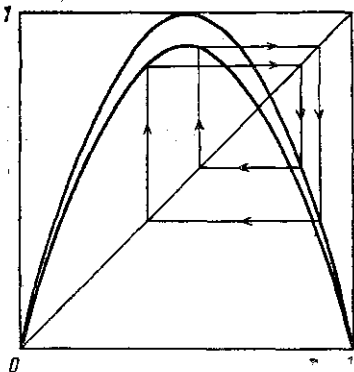


Рис. 2. Устойчивый цикл периода 4 отображения (7)

### 3. Хаос и порядок в сети диффузионно связанных отображений при параметрическом воздействии

Перейдем теперь к изучению решеток вида (2).

Допустим, что один, несколько или все элементы искусственно подвержены дестохастизации. Иными словами, предположим, что в решетке (2), (4) ряд элементов имеет вид (6) с  $\gamma_1 = \gamma_1^d \in \Gamma_c$ ,  $\gamma_2 = \gamma_2^d \in \Gamma_c, \dots, \gamma_m = \gamma_m^d \in \Gamma_c$ , а остальные — вид (1) с  $\gamma \in \Gamma_c$ . Таким образом, в отсутствие диффузии,  $d_1 = d_2 = 0$ , выбранные элементы будут проявлять регулярную динамику, а остальные элементы в решетке — хаос. Как при  $d_1 \neq 0, d_2 \neq 0$  изменится заданная пространственная картина? Будет ли распространяться в результате диффузии порядок на соседние элементы или же хаос подавит регулярное поведение?

Рассмотрим сначала ситуацию, когда только один элемент  $(i, j)$  в решетке (2), (7) подвержен дестохастизации. Перепишем выражение (2), (7) в виде

$$\begin{aligned} x_{2n+1}^{i,j} &= \Phi_1(x_{2n}^{i,j}, \gamma_1^d) [1 - 2(d_1 + d_2)] + \{d_1[\varphi(x_{2n}^{i-1,j}, \gamma) + \\ &+ \varphi(x_{2n}^{i+1,j}, \gamma)] + d_2[\varphi(x_{2n}^{i,j-1}, \gamma) + \varphi(x_{2n}^{i,j+1}, \gamma)]\}, \\ x_{2n+2}^{i,j} &= \Phi_2(x_{2n+1}^{i,j}, \gamma_2^d) [1 - 2(d_1 + d_2)] + \{d_1[\varphi(x_{2n+1}^{i-1,j}, \gamma) + \\ &+ \varphi(x_{2n+1}^{i+1,j}, \gamma)] + d_2[\varphi(x_{2n+1}^{i,j-1}, \gamma) + \varphi(x_{2n+1}^{i,j+1}, \gamma)]\}. \end{aligned} \quad (12)$$

Первое слагаемое в отображении (12) зависит лишь от состояния выделенного элемента в предыдущий момент времени и суммы коэффициентов диффузии. Второе слагаемое зависит от состояния соседних элементов и не зависит от состояния выделенного элемента. Следовательно, можно вновь применить описанный выше «локальный» подход и рассмотреть динамику только выделенного элемента, не интересуясь деталями эволюции соседей, а заменяя их флуктуирующей средой.

Рассматриваемое отображение  $\varphi$  (см. (4)) в выражении (12) является хаотическим и переводит отрезок  $[0, 1]$  в себя. Поэтому вполне допустимым приближением соотношения (12) является замена второго слагаемого случайной величиной, равномерно распределенной на интервале  $[0, d]$ , где  $d=2(d_1+d_2)$ . Следовательно, отображение (12) можно приблизительно записать в виде

$$\begin{aligned} x_{2n+1} &= (1-d) \varphi_1(x_{2n}, \gamma_1^d) + \xi_{2n}^1, \\ x_{2n+2} &= (1-d) \varphi_2(x_{2n+1}, \gamma_2^d) + \xi_{2n+1}^2. \end{aligned} \quad (13)$$

Дальнейшее изучение отображения (13) проводилось численно. Критерием хаотичности и регулярности служит показатель Ляпунова, рассчитываемый из соотношения  $\lambda = (1/L) \sum_{i=1}^L \ln |f'(x_i)|$ , где  $L$  — число

итераций. Значения параметров были выбраны следующими:  $\gamma_1^d = 3,978$ ,  $\gamma_2^d = 4$ . Очевидно, что  $\gamma_2^d \in \Gamma_c$ . Параметр  $\gamma_1^d$  также входит в множество  $\Gamma_c$ , поскольку показатель Ляпунова для отображения (4) с  $\gamma = \gamma_1^d$  положителен,  $\lambda \approx 0,600$ . В свою очередь отображение (7) с  $\gamma_1 = \gamma_1^d$  и  $\gamma_2 = \gamma_2^d$  обладает устойчивым циклом периода 12.

Детальный анализ позволил заключить, что для значения коэффициента  $d < (6,00 \pm 0,05) 10^{-6}$  выполняется неравенство  $\lambda < 0$ ; это гарантирует существование регулярной динамики отображения (13). Иными словами, при величине диффузии, удовлетворяющей соотношению  $d_1 + d_2 < (3,00 \pm 0,05) 10^{-6}$ , устойчивый цикл в выделенном элементе решетки из диффузионно связанных отображений сохраняется. Если же  $d > (6,00 \pm 0,05) 10^{-6}$ , то показатель Ляпунова становится положительным, и периодическое поведение выделенного элемента должно диффузионно подавляться соседними с ним хаотическими элементами.

Таким образом, на основе изучения аппроксимационной модели (13) мы получаем пороговую оценку суммы коэффициентов диффузии. При  $d_1 + d_2 < (3,00 \pm 0,05) 10^{-6}$  взаимодействие элементов в двумерной решетке диффузионно связанных квадратичных отображений не должно приводить к разрушению периодической динамики выделенного элемента, возникшей в результате дестохастизации. Если  $d_1 = d_2$ , то пороговое значение для каждого из коэффициентов равно  $d_c \approx 1,5 \cdot 10^{-6}$ .

Характерно, что, когда диффузия лишь слегка превышает пороговое значение, разрушение периодической динамики выделенного элемента происходит по сценарию, близкому к сценарию рождения хаоса через перемежаемость [8]. Именно: спустя определенное число итераций (зависящее от  $d$ ) изображающая точка покидает окрестность творящего устойчивости цикла. Сделав несколько нерегулярных колебаний вдали от этого цикла (число которых может быть велико по сравнению с периодом цикла), эта точка вновь попадает в его окрестность, и динамика опять становится почти периодической. И так далее.

Для более полного изучения поведения элементов в сети (2) предположим, что в решетке (2), (7) взаимодействуют  $32 \times 32$  элемента, расположенных на торе. Пусть каждый из этих элементов подвержен дестохастизации (т. е. для всех  $i, j=1, 2, \dots, 32$ ,  $\gamma_1 = \gamma_1^d = 3,978$ ,  $\gamma_2 = \gamma_2^d = 4$ ), а начальные условия для них выбраны случайными и равномерно распределенными на отрезке  $[0, 1]$ . Интуитивно ясно, что при малой диффузии наведенный регулярный режим в такой сети будет сохраняться. Какое максимальное (пороговое) значение  $d_c$  имеют коэффициенты  $d_1$  и  $d_2$  в соотношении (12), при котором хаотическая динамика

ка еще отсутствует? Будет ли это значение совпадать с оценкой  $d_c$ , полученной при помощи локального подхода (13)? Численные исследования приводят к следующим выводам.

Для визуализации динамики решетки на развертке тора (рис. 3) черным цветом отмечались те элементы, поведение которых было хаотическим; элементы же с регулярным движением оставались белыми. В качестве критерия хаотичности и регулярности использовалась величина экспоненциального разбегания траекторий [13]. При  $d_1=d_2 <$

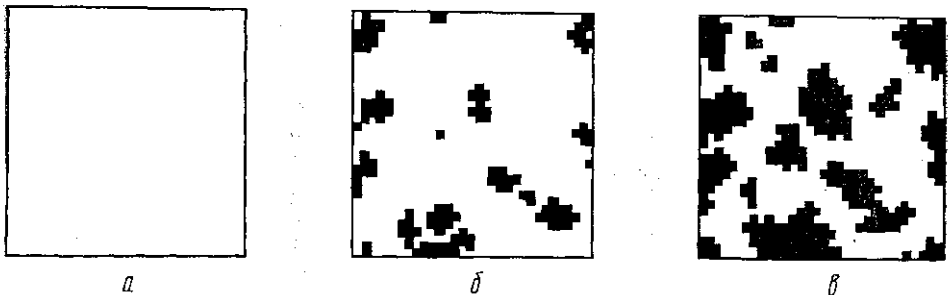


Рис. 3. Развертка решетки, состоящей из 1024 подверженных дестохастизации элементов, расположенных на торе:  $d_1=d_2 < d_c' = (3,80 \pm 0,05) \cdot 10^{-6}$  (а),  $d_1=d_2 = 4,2 \cdot 10^{-6}$  (б),  $d_1=d_2 = 4,7 \cdot 10^{-6}$  (в)

$< (3,80 \pm 0,05) 10^{-6}$  вся решетка проявляла регулярные свойства, т. е. пространственный порядок сохранялся (рис. 3, а). В случае  $d_1=d_2 > (3,90 \pm 0,05) 10^{-6}$  в некоторых местах тора возникали элементы с хаотической динамикой (рис. 3, б). Следовательно, критическое значение коэффициентов диффузии равно  $d_c' \approx 3,85 \cdot 10^{-6}$ . С дальнейшим увеличением  $d_1, d_2$  число элементов, проявляющих хаотический режим эволюции, увеличивалось (рис. 3, в). При последующем росте коэффициентов  $d_1$  и  $d_2$  преобладающими в решетке становились элементы с хаотическим поведением.

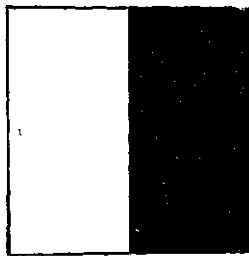


Рис. 4. Дестохастизация 512 элементов решетки при  $d_1=d_2 = 2,2 \cdot 10^{-6}$

видимому, это связано с тем, что в некоторых пределах диффузионная связь как бы стабилизирует, или сглаживает, динамику элементов решетки.

Наконец, рассмотрим случай, когда параметрической дестохастизации подвержены не все элементы тора, а только часть из них. Предположим, что они образуют определенную пространственную структуру, например кольцо (рис. 4). Из анализа, проведенного выше, следует ожидать, что при  $d_1=d_2 < d_c$  пространственная картина решетки (2) будет сохраняться: динамика элементов вида (7) останется регулярной, а динамика элементов вида (4) — хаотической. С другой стороны, при  $d_1=d_2 > d_c'$  даже среди элементов вида (7) в решетке (2) найдутся

элементы с хаотическим поведением. В этом случае, очевидно, пространственная картина будет разрушаться. Какое поведение проявит решетка, если  $d_c < d_1 = d_2 < d_c'$ ? Численные исследования показывают, что хаотически эволюционирующие элементы при этих ограничениях на  $d_1$  и  $d_2$  разрушают регулярную динамику лишь своих ближайших соседей: полоса на рис. 4 только немного расширяется.

#### 4. Заключение

Исследованные в данной работе системы являются аппроксимациями некоторых распределенных сред, интенсивно изучаемых в последнее время [15—16]. Основной результат первой части работы состоит в том, что взаимное влияние отдельных элементов таких сред, проявляющих турбулентное поведение, может привести к образованию определенных когерентных структур. Другой важный результат — найден порог чувствительности наведенного из хаоса порядка к диффузионному воздействию. Если диффузия достаточно мала, то заданная пространственная картина в решетке будет сохраняться. Однако с ростом диффузии происходит качественная перестройка: пространственный порядок начинает искажаться, в решетке появляются случайным образом разбросанные элементы как с регулярной, так и с хаотической динамикой. С дальнейшим увеличением диффузии поведение решетки в целом становится хаотическим. Порядок поглощается хаосом.

Работа частично поддерживалась ИПМ им. М. В. Келдыша Российского открытого университета.

#### ЛИТЕРАТУРА

- [1] Фейгенбаум М.//УФН. 1983. 141. С. 343. [2] Шустер Г. Детерминированный хаос. Введение. М., 1988. [3] Колмогоров А. Н.//ДАН СССР. 1954. 98. С. 527. [4] Арнольд В. И.//УМН. 1963. 18. С. 43. [5] Мозер Ю.//Сб. перев. Математика. 1963. 7, № 6. С. 51. [6] Basti G. et al.//Neurocomputer and Attention. V. I. Manchester Univ. Press. Manchester & N. Y., 1991. P. 151. [7] Loskutov A. Yu., Tereshko V. M.//Proc. Int. Conf. on Artificial Neural Networks. Brighton, UK, 4—7 Sept. 1992. North-Holland Publ., Amsterdam, 1992. [8] Лоскутов А. Ю., Михайлов А. С. Введение в синергетику. М., 1990. [9] Канеко К.//Physica D. 1989. 34. P. 1. [10] Канеко К.//Physica D. 1991. 54. P. 5. [11] Schreiber T.//J. Phys. A. 1990. 23. P. L393. [12] Druzhinin O. A., Mikhailov A. S.//Phys. Lett. 1990. 148A. P. 429. [13] Mikhailov A. S., Loskutov A. Yu. Foundations of Synergetics II. Complex Patterns. Springer, Berlin, 1991. [14] Вул Е. Б., Синая Я. Г., Ханин К. М.//УМН. 1984. 39. С. 3. [15] Гапонов-Грехов А. В., Ломов А. С., Осипов Г. В., Рабинович М. И. Нелинейные волны. Динамика и эволюция/Ред. М. И. Рабинович и А. В. Гапонов-Грехов. М., 1989. С. 61. [16] Gaпонov-Grekhov A. V., Rabinovich M. I.//Selforganization by Non-linear Irreversible Processes/Eds. by W. Ebeling, H. Ulbrich. Springer, Berlin, 1984. P. 37.

Поступила в редакцию  
30.09.92